

بررسی اثر شکل هندسی تکیه‌گاه پل در پایداری سنگ‌چین در قوس رودخانه

علیرضا مسجدی* و مرتضی سبهانی^۱

(تاریخ دریافت: ۱۳۹۲/۹/۵؛ تاریخ پذیرش: ۱۳۹۴/۶/۱۰)

چکیده

از جمله روش‌های کترول آب شستنگی در اطراف تکیه‌گاه پل استفاده از سنگ‌چین در اطراف آن می‌باشد. در این مطالعه به منظور مقایسه پایداری سنگ‌چین‌ها در اطراف دو تکیه‌گاه پل با دو شکل متفاوت، آزمایش‌هایی در یک فلوم آزمایشگاهی با قوس ۱۸۰ درجه از جنس پلاکسی گلاس انجام گرفت. در این تحقیق با قراردادن دو تکیه‌گاه پل با دیواره عمودی بالدار و قائم از جنس پلاکسی گلاس به همراه سنگ‌چین در اطراف آنها اقدام به انجام یک سری آزمایش‌ها با استفاده از دو نوع سنگ‌چین با چگالی مختلف و با چهار قطر متفاوت در دبی ثابت در حالت آب زلال انجام شد. در هر آزمایش عمق جریان در شرایط آستانه حرکت اندازه‌گیری و سپس با استفاده از داده‌های به دست آمده عدد پایداری محاسبه گردید. نتایج حاصل نشان داد در شرایط یکسان، پایداری سنگ‌چین‌ها در تکیه‌گاه بالدار بیشتر از تکیه‌گاه قائم می‌باشد. همچنین بالدار بودن تکیه‌گاه با زاویه ۴۵ درجه به طور متوسط باعث افزایش ۹ درصد پایداری سنگ‌چین‌ها در مقایسه با تکیه‌گاه قائم می‌شود.

کلمات کلیدی: قوس ۱۸۰ درجه رودخانه، پایداری سنگ‌چین، تکیه‌گاه پل، عدد فرود

۱. گروه سازه‌های آبی، دانشکده کشاورزی، دانشگاه آزاد اسلامی، اهواز
*: مسئول مکاتبات: پست الکترونیکی: drmasjedi.2007@yahoo.com

مقدمه

انجام دادند. در این تحقیق اثر هیدرولیک جریان و همچنین فاصله بین پایه‌ها مورد بررسی قرار گرفت. آزمایش‌ها در یک فلوم آزمایشگاهی مستطیلی با چهار اندازه سنگ‌چین با شیب ۷ درصد انجام شد. نتایج تحقیق نشان داد فاصله بین پایه‌های پل تأثیر کمی بر روی اندازه سنگ‌چین دارد (۱۸). مارتین و همکاران تحقیقاتی در زمینه مقابله با آب‌شستگی در قوس انجام دادند. در این تحقیق کل قوس بیرونی توسط سنگ‌چین پوشانده شد. نتایج آزمایشگاهی نشان داد سنگ‌چین می‌تواند به صورت مؤثر از آب‌شستگی قوس بیرونی بکاهد. همچنین سنگ‌چین با انتقال خط القعر به سمت مرکز کanal، ساحل بیرونی قوس را محافظت می‌کند و با قراردادن سنگ‌چین به داخل خط القعر، توسعه آب‌شستگی کاهش یافته و ساحل بیرونی کمتر تحت تأثیر فرسایش قرار می‌گیرد (۱۱). قربانی و همکاران به منظور کنترل و کاهش آب‌شستگی موضعی با استفاده از چهار اندازه سنگ‌چین و دو اندازه شکاف پایه نشان داد وجود شکاف باعث مقاومت‌تر شدن و افزایش پایداری پایداری سنگ‌چین می‌گردد (۳). نوحانی و همکاران به منظور بررسی پایداری سنگ‌چین در اطراف پایه پل در قوس ۱۸۰° تحقیقی انجام دادند. در این تحقیق با قرار دادن یک پایه استوانه‌ای به همراه سه طوقه دایره‌ای با اندازه‌های مختلف در چهار موقعیت از قوس و چهار اندازه مختلف سنگ‌چین، پایداری لایه سنگ‌چین حول پایه پل در حالت آب زلال مورد بررسی قرار گرفت. نتایج این تحقیق نشان داد افزایش قطر نسبی سنگدانه‌ها، باعث ناپایداری آنها می‌گردد. همچنین با افزایش عدد فرود در شرایط آستانه حرکت، عدد پایداری کاهش می‌یابد (۷). منصوری و همکاران به منظور طراحی قطر سنگ‌چین در اطراف تکیه‌گاه پل با دیواره عمودی در قوس ۹۰° درجه رودخانه تحقیقی انجام دادند. در این تحقیق آزمایش‌ها در چگالی، دبی و قطرهای مختلفی انجام شد. نتایج تحقیق نشان داد به ازای هر اندازه قطر سنگ‌چین ثابت، با افزایش دبی، عمق ناپایداری افزایش می‌یابد. همچنین در دبی ثابت، با کاهش عمق ناپایداری، اندازه قطر سنگ‌چین افزایش می‌یابد (۵).

اگر تکیه‌گاهی به طور عمودی در مسیر جریان قرار گرفته باشد جریان آب در اطراف آن متلاطم شده و جریان‌های گردابی در اطراف آن ایجاد می‌شود. این جریان‌ها مکانیسم اصلی آب‌شستگی به حساب آمده که در دراز مدت باعث ایجاد حفره در محل تکیه‌گاه پل شده و ممکن است موجب ریزش و خرابی تکیه‌گاه پل گردد. براساس مطالعات سازمان بزرگراه‌های ایالات متحده در سال ۱۹۷۳، از تعداد ۳۸۳ مورد خرابی در پل ها، ۲۵٪ مربوط به خرابی پایه‌ها و ۷۲٪ مربوط به خرابی تکیه‌گاه ها بوده است (۱۵). همچنین بررسی‌های کانداسمی و همکاران در سال ۱۹۹۸، ۶۰ تا ۱۰۰ مورد تخریب پل در نیوزلند ناشی از آب‌شستگی در تکیه‌گاه آنها بوده است (۱). یکی از روش‌های کاهش آب‌شستگی در اطراف تکیه‌گاه پل‌ها، استفاده از پوشش سنگ‌چین که به منظور تقویت بستر و بالابردن مقاومت آن در برابر تنفس برشی ناشی از جریان استفاده می‌شوند. یکی از پارامترهای مهم برای بررسی مقاومت سنگ‌چین در برابر تنفس برشی ناشی از جریان، پارامتر بدون بعد عدد پایداری است. مطالعه پارولا به منظور ارائه روشی جهت تعیین اندازه مناسب سنگ‌چین با در نظر گرفتن پارامترهای مؤثر همچون سرعت جریان، عمق جریان، زبری بستر در بالادرست، اندازه سنگ‌چین، تراز قرارگیری آن نسبت به سطح بستر و همچنین شکل پایه آزمایش‌های خود را انجام داد. نتایج آزمایش‌ها نشان داد که محل قرارگیری لایه سنگ‌چین دور پایه و اندازه نسبی سنگدانه‌ها بر عدد پایداری تأثیر زیادی دارد (۱۴). کاردوسو و همکاران آزمایش‌هایی در یک کanal مستطیلی با بستر ماسه‌ای و چهار طول مختلف تکیه‌گاه، سه اندازه مختلف سنگ‌چین دو نوع ماسه مختلف انجام دادند. نتایج این تحقیق نشان داد قطر سنگ‌چین به عدد فرود و به طول دیواره تکیه‌گاه بستگی دارد. همچنین با افزایش تعداد لایه‌های سنگ‌چین می‌توان فرسایش اطراف تکیه‌گاه را به حداقل رساند (۹). سیمارو و همکاران تحقیقاتی در مورد تعیین اندازه سنگ‌چین به منظور حفاظت از پایه‌های پل در مقابل فرسایش

$$f_1(R, B, \theta, V, y_t, g, \rho_w, S_s, D_{50}, \rho_s) = 0 \quad [1]$$

در رابطه (۱) R شعاع مرکزی قوس، B عرض مجراء، θ زاویه موقعیت قرارگیری تکیه گاه در قوس، V سرعت جریان، y_t عمق جریان آب در پائین دست، g شتاب ثقل، ρ_w جرم مخصوص آب، S_s شیب طولی کف مجراء، D_{50} قطر متوسط سنگ چین و ρ_s جرم مخصوص ذرات سنگ چین می باشد. با صرف نظر کردن از پارامترهای ثابت در رابطه (۱)، رابطه زیر به دست می آید:

$$f_1(V, y_t, g, \rho_w, D_{50}, \rho_s) = 0 \quad [2]$$

با استفاده از تئوری باکینگهام رابطه (۲) به صورت زیر بدون بعد می شود:

$$f_2\left(\frac{gy_t}{V}, \frac{D_{50}}{y_t}, \frac{\rho_s}{\rho_w}\right) = 0 \quad [3]$$

و یا:

$$f_2\left(Fr, \frac{D_{50}}{y_t}, G_s\right) = 0 \quad [4]$$

در رابطه (۴) Fr عدد فرود، y_t/D_{50} قطر نسبی سنگ چین و G_s چگالی سنگ چین می باشد. در کلیه آزمایش ها با توجه به آشفتگی جریان در اطراف تکیه گاه، جریان از نوع متلاطم بوده و عدد رینولدز حذف گردید. از ترکیب سه پارامتر رابطه (۴)، معادله عدد فرود ذره یا عدد پایداری بصورت زیر به دست می آید:

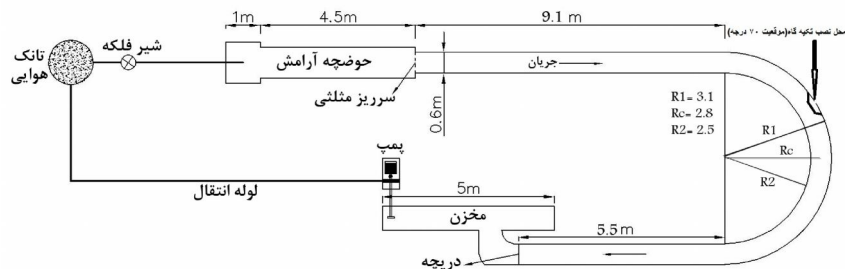
$$SN = \frac{V}{\sqrt{g(G_s - 1)D_{50}}} \quad [5]$$

در رابطه (۵)، V سرعت جریان، g شتاب ثقل، G_s چگالی سنگ چین و D_{50} قطر متوسط سنگ چین می باشد.

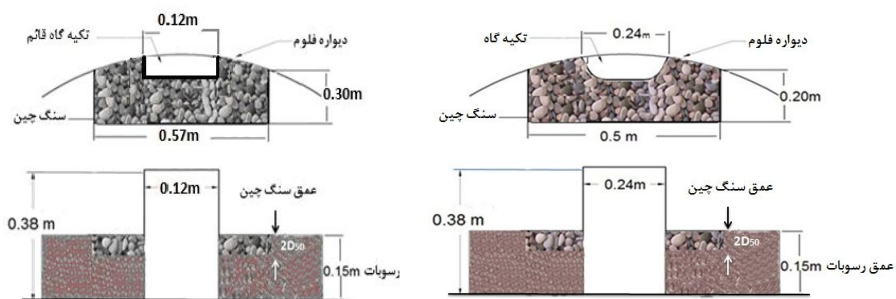
با توجه به این که بیشتر تحقیقات در خصوص پایداری سنگ چین در اطراف تکیه گاه در مسیر مستقیم با مسیرهای غیرمستقیم متفاوت است لذا در این تحقیق اقدام به بررسی اثر شکل هندسی تکیه گاه پل در پایداری سنگ چین در دو تکیه گاه با دیواره عمودی بالدار و دیواره قائم در موقعیت 70° درجه در قوس 180° درجه به همراه سنگ چین در اطراف آنها با چگالی و با قطرهای متفاوت در دبی ثابت در حالت آب زلال شده است. طبق تحقیقات آزمایشگاهی صفرزاده و همکاران و مسجدی و

تکیه گاه پل سازه هایی هستند که از طرف ساحل به داخل جریان اصلی امتداد یافته و موجب تنگ شدنی موضعی در داخل جریان می گردد. مکانیزم آب شستگی بدین صورت است که پس از برخورد جریان به تکیه گاه پل، با توجه به این که سرعت جریان از بستر رودخانه به طرف سطح آب بیشتر می شود فشار بیشتری نیز در ترازهای بالاتر بر روی بالادست تکیه گاه پل ایجاد می شود و به این ترتیب گرادیان فشاری روی جریان رو به پایین می شود. جریان رو به پایین همانند یک جت عمودی عمل کرده و پس از برخورد به بستر رودخانه ضمن حفر بستر ذرات رسوبی به اطراف پراکنده می شود (۱۷). بخشی از جریان رو به پایین که به سمت بالا بازگشت می کند، در برخورد به جریان عمومی رودخانه، مجبور به حرکت در جهت جریان شده و مجدداً به پایه برخورد می کند. این چرخش جریان و بازگشت آن در داخل حفره کنده شده، گرداب تشکیل می دهد که به شکل شبیه نعل اسب می باشند که به آن گرداب نعل اسی می گویند. تشکیل گرداب نعل اسی در داخل حفره آب شستگی، باعث تسريع در حفر آن شده و ذرات جدا شده از بستر، توسط جریان اصلی رودخانه به پایین دست حمل می شوند (۸).

در پائین دست تکیه گاه، در اثر جدایی جریان گرداب های تشکیل می شوند که محور آنها عمود بر بستر رودخانه می باشد و به آنها گرداب برخاستگی می گویند. این گرداب ها همانند گردباد ذرات بستر را جدا کرده و در معرض جریان قرار می دهند و به انتقال ذرات در اطراف تکیه گاه به سمت پایین دست کمک می کنند. حفر گودال آب شستگی توسط گرداب نعل اسی آنقدر ادامه می یابد تا حجم آب درون حفره آب شستگی زیاد شده و انرژی گرداب را مستهلك کند. در این حالت عمق آب شستگی به حالت تعادل می رسد (۱۷). با در نظر گرفتن جریان دائمی و ثابت بودن خصوصیات سیال رابطه ذیل بین پارامترهای مؤثر بر پایداری سنگ چین در حالت تعادل برقرار است:



شکل ۱. پلان کanal قوسی شکل



شکل ۲. مشخصات تکیه گاه ها و سنگ چین در اطراف آن

با دیواره عمودی بالدار با زاویه 45° درجه و دیواره عمودی قائم با زاویه 90° درجه با عرض ۶ سانتی متر از جنس پلاکسی گلاس استفاده شد (شکل ۲). هر دو تکیه گاه به صورت مجرا در موقعیت 70° درجه در قوس نصب شدند (شکل ۱). سنگ چین های به کار رفته در این تحقیق از مصالح طبیعی گرد گوشه با ۲ نوع چگالی $1/7$ و $1/2$ با اندازه قطر متوسط $4/76$ متر و عمق 0.15 متر از روشنایی $2D_{50}$ باشد. این سنگ چین های با استفاده از روش ارشمیدس تعیین شدند. همچنین خاک با استفاده از روش ارشمیدس تعیین شدند. همچنین چگالی و اندازه سنگ چین ها در آزمایش ها طوری انتخاب شدند که در دبی و عمق موردنظر جایجا شوند (10°) (جدول ۱). به توصیه راودکیوی و اتما برای جلوگیری از تشکیل رسپل قطر متوسط ذرات باید از 0.7 میلی متر بزرگ تر باشد (16°). همچنین برای حذف تأثیر غیریکنواختی رسوبات بر آب شستگی، انحراف معیار ذرات باید کمتر از $1/3$ باشد. با توجه به این موارد یک لایه از ماسه طبیعی رودخانه ای با قطر متوسط معادل $1/59$ میلی متر و ضریب انحراف استاندارد معادل $1/29$ انتخاب و در لایه ای به ضخامت تقریبی 15 سانتی متر

همکاران، در نیمه اول قوس 180° درجه و در موقعیت 60° تا 70° درجه بیشترین جریان های ثانویه و آب شستگی در این موقعیت ایجاد می شود (2 و 6). لذا این تحقیق با هدف کنترل آب شستگی در اطراف تکیه گاه با استفاده از سنگ چین انجام شد.

مواد و روش ها

به منظور بررسی پایداری سنگ چین در اطراف دو تکیه گاه با دیواره عمودی بالدار و دیواره قائم در قوس رودخانه، یک مدل فیزیکی تهیه شد. آزمایش ها در یک فلوم از جنس پلاکسی گلاس قوسی شکل با زاویه مرکزی 180° درجه، شعاع مرکزی $R=2/8$ m و عرض $B=0/6$ m انجام شد. انحنای نسبی قوس $70^\circ/R=B/4$ بوده که قوس را در رده قوس های ملایم قرار می دهد. کanal مستقیم ورودی به طول $9/1$ متر به یک کanal با قوس 180° درجه متصل می گردد. این کanal قوسی شکل توسط کanal مستقیم دیگری به طول $5/5$ متر به دریچه کنترل عمق جریان و سپس مخزن خروجی متصل می شود (شکل ۱).

طبق توصیه های چیو و ملویل تنگ شدگی در عرض کanal نباید از 10° درصد عرض کanal بیشتر باشد (10°). لذا دو تکیه گاه

در ابتدای هر آزمایش تکیه گاه مورد نظر را در موقعیت ۷۰ درجه در قوس نصب و سپس با استفاده از ارابه متحرک، رسوبات بستر کanal تحت شیب ثابت مسطح گردید. سپس سنگ چین مورد نظر با ضخامت ۲D۵۰ و هم تراز با مصالح بستر در اطراف تکیه گاه قرار داده شد (شکل ۳). پیش از راه اندازی پمپ، دریچه انتهایی بسته و سپس آب زلال به آرامی به درون کanal هدایت گردید تا از ایجاد ریپل و ناهمواری در سطح بستر جلوگیری شود. مدت زمان اشباع کanal بین ۲۰ تا ۳۰ دقیقه بود. پس از بالا آمدن آب و اطمینان از مرطوب شدن رسوبات بعد از گذشت چند دقیقه، پمپ با دبی کمی راه اندازی شد و به آرامی توسط شیر فلکه اصلی روی لوله ورودی به حوضچه آرامش، دبی به میزان موردنظر رسانده شد. پس از تنظیم دبی موردنظر، عمق جریان توسط دریچه در پائین دست به آهستگی کاهش داده شد تا شرایط جریان برای جابه جایی کم ذرات سنگ چین به وجود آید. پس از اطمینان از ثابت بودن عمق جریان در طول فلوم نحوه حرکت ذرات سنگ چین به صورت چشمی بررسی گردید. شرایط جریان در حالت آستانه حرکت گفته و در این شرایط عمق جریان در پائین دست قوس به عنوان عمق آستانه به وسیله عمق سنج با دقت میلی متر اندازه گیری شد (شکل ۴). در انتهای هر آزمایش، پمپ خاموش و دریچه انتهایی بسته شد تا آب موجود در کanal به آرامی زهکشی شد تا تاثیری بر روی توپوگرافی بستر ایجاد نشود. پس از تخلیه کامل آب از درون کanal، محدوده چاله آب شستگی در اطراف دو تکیه گاه توسط عمق سنج با دقت میلی متر اندازه گیری شد. پس از انجام آزمایش محدوده سنگ چین در اطراف تکیه گاه بالدار برای انجام آزمایشها به طول ۵۰ و عرض ۲۰ سانتی متر و برای تکیه گاه قائم ۵۷ در ۳۰ سانتی متر به دست آمد.

بحث و نتایج

در کلیه آزمایشها پس از تنظیم دبی و عمق جریان در حالت آستانه، بلا فاصله در اطراف تکیه گاه، گردابه ها تشکیل و سنگ چین ها تحت تأثیر جریان ثانویه به سمت پائین دست منتقل شدند. در هر دو تکیه گاه، جابجایی سنگ چین ها در قسمت پائین دست و به سمت قوس داخلی مشاهده می شود که نشان دهنده قدرت بالای جریان ثانویه در این ناحیه می باشد. همچنین در کلیه آزمایشها میزان جابه جایی سنگ چین ها به پائین دست در تکیه گاه قائم بیشتر از تکیه گاه بالدار مشاهده گردید.

جدول ۱. مشخصات سنگ چین در اطراف تکیه گاه

چگالی سنگ چین	اندازه متوسط سنگ چین (mm)
۱/۷	۱۹/۱ ، ۱۲/۷ ، ۹/۵۲ ، ۴/۷۶
۱/۲	۱۹/۱ ، ۱۲/۷ ، ۹/۵۲

جهت انجام آزمایشها مورد استفاده قرار گرفت. طبق توصیه الیتو و هاگر برای جلوگیری از اثرات زبری عمق آب را بیشتر از ۲۰ میلی متر پیشنهاد نموده اند که در کلیه آزمایشها عمق آب بالاتر از ۲۰ میلی متر انتخاب گردید (۱۳).

برای تعیین مساحت سنگ چین در اطراف تکیه گاهها، آزمایش زمان تعادل بدون قرار گیری سنگ چین در اطراف دو تکیه گاه به منظور بررسی حداقل ابعاد گودال آب شستگی اطراف تکیه گاه انجام شد. در این آزمایش طی یک آزمایش طولانی به مدت ۱۴ ساعت بر روی هر یک از تکیه گاه بطور جداگانه بدون سنگ چین در یک لایه از ماسه به ضخامت تقریبی ۱۵ سانتی متر با دبی حداقل ۲۷ لیتر بر ثانیه در موقعیت ۷۰ درجه در قوس در عمق جریان ۱۰ سانتی متر انجام گردید. در انتهای آزمایش، پمپ خاموش و دریچه انتهایی بسته شد تا آب موجود در کanal به آرامی زهکشی شد تا تاثیری بر روی توپوگرافی بستر ایجاد نشود. پس از تخلیه کامل آب از درون کanal، محدوده چاله آب شستگی در اطراف دو تکیه گاه توسط عمق سنج با دقت میلی متر اندازه گیری شد. پس از انجام آزمایش محدوده سنگ چین در اطراف تکیه گاه بالدار برای انجام آزمایشها به طول ۵۰ و عرض ۲۰ سانتی متر و برای تکیه گاه قائم ۵۷ در ۳۰ سانتی متر به دست آمد.

براساس مطالعات ملولی و همکاران شکل چیدمان سنگ چین در اطراف تکیه گاه به صورت مستطیلی و هم تراز مصالح بستر در نظر گرفته شد (۱۲). همچنین با توجه به معیار ارائه شده توسط ملولی و همکاران، ضخامت لایه سنگ چین دو برابر قطر متوسط سنگ چین انتخاب شد (۱۲) (شکل ۲). کلیه آزمایشها در این تحقیق در دبی ثابت ۲۷ لیتر بر ثانیه انجام شد. دبی مورد نیاز توسط سرریز مثلثی ۶۰ درجه در ابتدای ورودی فلوم اندازه گیری شد.



شکل ۳. تکیه گاه و سنگ چین اطراف آن قبل از آزمایش



شکل ۴. تکیه گاهها و سنگ چین اطراف آن بعد از آزمایش

جدول ۲. نتایج حاصل از آزمایش آستانه حرکت سنگ چین در تکیه گاه بالدار

Gs	Q (m³/s)	D (50mm)	y _{tc} (m)	V _c (m/s)	Fr _c	S _{Nc}
1/7	0/027	4/76	0/135	0/33	0/29	1/84
1/7	0/027	9/52	0/112	0/4	0/38	1/57
1/7	0/027	12/7	0/104	0/43	0/43	1/47
1/7	0/027	19/1	0/09	0/5	0/53	1/38
1/2	0/027	9/52	0/109	0/41	0/40	1/39
1/2	0/027	12/7	0/098	0/46	0/47	1/27
1/2	0/027	19/1	0/084	0/54	0/59	1/18

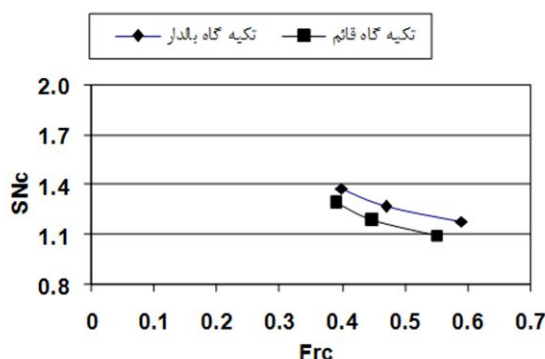
دو تکیه گاه بالدار و قائم در دی بی ثابت ۲۷ لیتر بر ثانیه و در دو چگالی ۱/۷ و ۱/۲ در حالت آستانه حرکت نشان می‌دهد. نتایج حاصل از نمودارها نشان می‌دهد، عدد فرود در آستانه حرکت عامل مؤثر در پایداری سنگ چین‌ها بوده و در هر دو چگالی، عدد پایداری در آستانه حرکت در دو تکیه گاه با افزایش عدد فرود، کاهش می‌یابد. با افزایش عدد فرود، سرعت جریان در کanal افزایش یافته و باعث کاهش پایداری سنگ چین‌ها در دو تکیه گاه می‌شود. همچنین در هر دو چگالی، عدد پایداری در تکیه گاه بالدار بیشتر از تکیه گاه قائم مشاهده می‌شود. زیرا عدد پایداری وابسته به عمق ناپایداری بوده و در کلیه آزمایش‌ها

در کلیه آزمایش‌ها پس از تنظیم دی بی، عمق جریان در حالت آستانه حرکت اندازه‌گیری شد. مطابق جدول شماره ۲ و ۳ به ازای دبی‌های آزمایشی (Q) و عمق جریان اندازه‌گیری شده در حالت آستانه حرکت (y_{tc}) و همچنین در قطر (D₅₀) و چگالی‌های مورد استفاده برای ذرات سنگ چین (G_s، مقادیر سرعت متوسط جریان (V_c)، عدد فرود (Fr_c) و عدد پایداری در حالت آستانه حرکت (S_{Nc}) در دو تکیه گاه محاسبه شد.

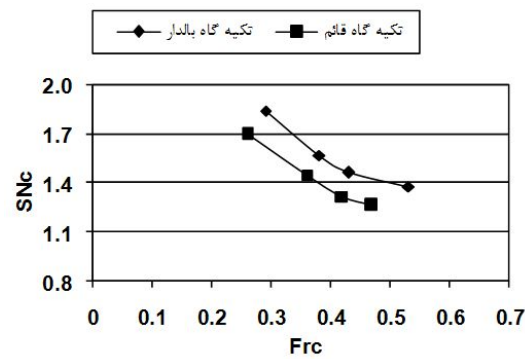
پایداری سنگ چین بر اساس عدد فرود در دو تکیه گاه شکل ۵ و ۶ مقایسه پایداری سنگ چین براساس عدد فرود در

جدول ۳. نتایج حاصل از آزمایش آستانه حرکت سنگ چین در تکیه گاه قائم

Gs	Q (m ³ /s)	D (50 mm)	y _{tc} (m)	V _c (m/s)	F _{rc}	S _{Nc}
1/7	0/027	4/76	0/145	0/31	0/26	1/70
1/7	0/027	9/52	0/125	0/36	0/36	1/45
1/7	0/027	12/7	0/103	0/44	0/42	1/32
1/7	0/027	19/1	0/098	0/46	0/42	1/27
1/2	0/027	9/52	0/115	0/39	0/39	1/29
1/2	0/027	12/7	0/103	0/44	0/45	1/19
1/2	0/027	19/1	0/096	0/47	0/55	1/10



شکل ۶. تأثیر عدد فرود بر پایداری سنگ چین در حالت آستانه حرکت در چگالی ۱/۲



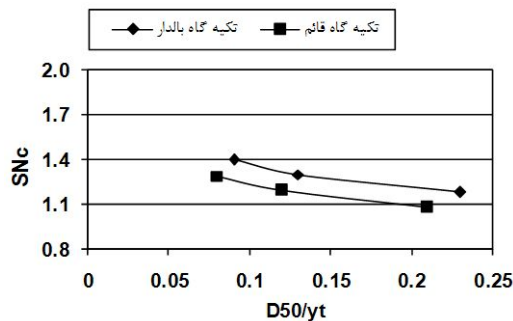
شکل ۵. تأثیر عدد فرود بر پایداری سنگ چین در حالت آستانه حرکت در چگالی ۱/۷

دو چگالی، عدد پایداری در آستانه حرکت در دو تکیه گاه با افزایش قطر نسبی سنگ چین، کاهش می‌یابد. با افزایش اندازه قطر سنگ چین‌ها، سطح تماس آنها بیشتر شده و درگیری آنها نسبت به هم کمتر می‌شوند در نتیجه سنگ چین‌ها با اندازه بیشتر در عمق جریان بیشتر و سرعت جریان کمتر پایداری خود را از دست می‌دهند. همچنین در هر دو چگالی، در کلیه قطره نسبی سنگ چین، عدد پایداری در تکیه گاه بالدار در مقایسه با تکیه گاه قائم بیشتر مشاهده می‌شود. به دلیل همسو بودن جریان با بدنه تکیه گاه قائم تولید شده در نتیجه در تکیه گاه بالدار، سنگ چین‌ها در عمق جریان کمتری نسبت به تکیه گاه قائم پایدار خواهند بود.

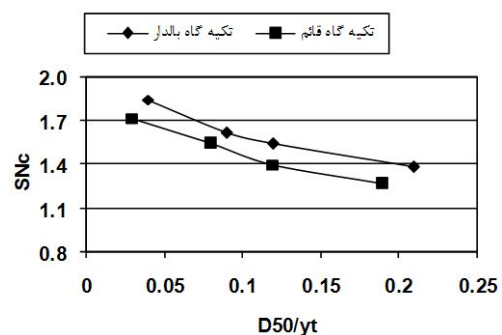
به منظور مقایسه تأثیر قطر نسبی سنگدانه‌ها بر پایداری سنگ چین در تحقیق حاضر با سایر محققین، از نتایج تحقیقات کیخائی و همکاران، یون و همکاران و کوزی و پترسون استفاده شد(۴، ۱۵ و ۱۹). با توجه به شکل ۷ عدد پایداری اندازه گیری

عمق جریان در حالت ناپایداری (آستانه حرکت) سنگ چین در تکیه گاه بالدار در مقایسه با تکیه گاه قائم کمتر مشاهده می‌شود. به عبارت دیگر سنگ چین در اطراف تکیه گاه بالدار، عمق جریان کمتر و سرعت جریان بیشتری در مقایسه با تکیه گاه قائم تحمل می‌کنند. به دلیل همسو بودن جریان با بدنه تکیه گاه، جریان‌های گردابی ضعیفی نسبت به تکیه گاه قائم تولید شده در نتیجه در تکیه گاه بالدار، سنگ چین‌ها در عمق جریان کمتری نسبت به تکیه گاه قائم پایدار خواهند بود.

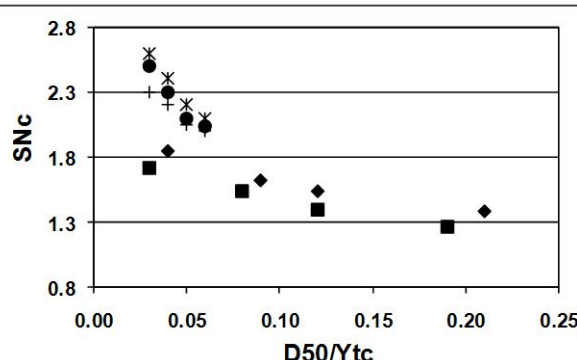
پایداری سنگ چین براساس قطر نسبی سنگ چین در دو تکیه گاه شکل ۷ و ۸ مقایسه پایداری سنگ چین براساس قطر نسبی سنگ چین در دو تکیه گاه بالدار و قائم در دبی ثابت ۲۷ لیتر بر ثانیه و در دو چگالی ۱/۷ و ۱/۲ در حالت آستانه حرکت نشان می‌دهد. نتایج حاصل از نمودارها نشان می‌دهد قطر نسبی سنگ چین نیز عامل مؤثر در پایداری سنگ چین‌ها بوده و در هر



شکل ۸. تأثیر قطر نسبی سنگدانه‌ها بر پایداری سنگچین در
حال آستانه حرکت در چگالی ۱/۲



شکل ۷. تأثیر قطر نسبی سنگدانه‌ها بر پایداری سنگچین در
حال آستانه حرکت در چگالی ۱/۷



شکل ۹. مقایسه نتایج تحقیق حاضر با نتایج سایر محققین

- در کلیه آزمایش‌ها، ناپایداری سنگچین‌ها در هر دو تکیه‌گاه در پائین‌دست دماغه تکیه‌گاه مشاهده گردید.
- در دو تکیه‌گاه، در هر چگالی با دبی ثابت، عدد پایداری افزایش عدد فرود در شرایط آستانه حرکت، عدد پایداری کاهش می‌یابد.
- در دو تکیه‌گاه، به ازای دبی ثابت، با افزایش قطر نسبی سنگچین‌ها، عدد پایداری در حال آستانه حرکت کاهش می‌یابد.
- در کلیه شرایط، عدد پایداری در تکیه‌گاه بالدار به دلیل همسو بودن جریان با بدنه تکیه‌گاه و ایجاد جریان‌های گردابی ضعیفی نسبت به تکیه‌گاه قائم بیشتر است. به عبارت دیگر در شرایط یکسان، پایداری سنگچین‌ها در تکیه‌گاه بالدار بیشتر از تکیه‌گاه قائم می‌باشد.
- بالدار بودن تگیه‌گاه با زاویه ۴۵ درجه به طور متوسط باعث افزایش ۹ درصد پایداری سنگچین‌ها در مقایسه با تگیه قائم می‌شود.

شده برای دبی ۲۷ لیتر بر ثانیه در این تحقیق برای دو تکیه‌گاه در مقایسه با نتایج سایر محققین نشان داده شده است. همان‌گونه که از این نمودار مشاهده می‌شود عدد پایداری تحقیق کمتر از نتایج سایر محققین دیگر می‌باشد. علت عدمه این کاهش وجود نیروی گریز از مرکز ناشی از جریان حلزونی در قوس خارجی ۱۸۰ درجه در این تحقیق بوده در صورتی تحقیقات محققین در کanal مستقیم انجام شده است.

نتیجه‌گیری

در این تحقیق آزمایش‌ها جهت تعیین پایداری سنگچین در اطراف تکیه‌گاه پل با دیواره بالدار و قائم و مقایسه بین آنها در قوس ۱۸۰ درجه در دبی ۲۷ لیتر بر ثانیه و با دو چگالی ۱/۷ و ۱/۲ و چهار اندازه مختلف ۴/۷۶، ۹/۵۲، ۱۲/۷، ۱۹/۱ میلی‌متر انجام گرفت. متغیرهای مؤثر در این تحقیق دبی، چگالی و قطر سنگچین بود. نتایج این تحقیق به صورت زیر بیان می‌شود:

خارجی ۱۸۰ درجه در این تحقیق می باشد.

۷. پیشنهاد می گردد تکیه گاه ها در موقعیت های دیگر در طول قوس قرار داده و پایداری سنگ چین در این شرایط بررسی و با نتایج این تحقیق مقایسه گردد.

۶. مقایسه نتایج این تحقیق با مطالعات محققین پیشین نشان داد عدد پایداری اندازه گیری شده در دو تکیه گاه، کمتر از نتایج سایر محققین دیگر بوده که علت عدمه این کاهش وجود نیروی گریز از مرکز ناشی از جریان حلقه ای در قوس

منابع مورد استفاده

۱. صانعی، م. ۱۳۸۵. بررسی آزمایشگاهی اثر درصد انسداد در آب شستگی موضعی آب شکن ها، هفتمین سمینار بین المللی مهندسی رودخانه، دانشگاه شهید چمران اهواز، بهمن ماه ۱۳۸۵.
۲. صفرزاده گندشمنی، ا. ۱۳۸۳. شبیه سازی الگوی جریان در آبگیری جانبی از قوس ۱۸۰ درجه. پایان نامه کارشناسی ارشد، دانشکده مهندسی، دانشگاه تربیت مدرس.
۳. قربانی، ب. و حیدرپور، م. ۱۳۸۴. کنترل و کاهش آب شستگی موضعی با استفاده هم زمان از شکاف و سنگ چین، گزارش نهایی طرح تحقیقاتی، دانشگاه شهرکرد و صنعتی اصفهان، ۱۱۲ ص.
۴. کیخانی، م.، حیدرپور، م. و موسوی، س. ف. ۱۳۸۸. بررسی الگوی پوشش سنگ چین در محل احداث گروه پایه های استوانه ای در پل ها، مجله علوم فنون کشاورزی و منابع طبیعی ۱۳(۴۹): ۲۹-۱۳.
۵. منصوری، م.، م. و شفاعی بجستانی، م. ۱۳۹۰. طراحی قطر سنگ چین در اطراف تکیه گاه پل واقع در قوس رودخانه، فصلنامه علمی پژوهشی مهندسی آبیاری و آب ۱(۴): ۴۵-۳۵.
۶. مسجدی، ع. و مرادی، ا. ۱۳۸۸. بررسی آزمایشگاهی اثر موقعیت تک آب شکن بر عمق آب شستگی اطراف آن در خم ۱۸۰ درجه، علوم آب و خاک (علوم و فنون کشاورزی و منابع طبیعی ۱۳(۴۳): ۵۱-۵۰).
۷. نوحانی، ا. شفاعی بجستانی، م.، مسجدی، ع.، کشکولی، ح. و ح. سامانی. ۱۳۹۱. کنترل آب شستگی پایه پل در فلوم ۱۸۰ درجه با روش های سنگ چین و طوقه، پایان نامه دکتری دانشگاه آزاد اسلامی واحد علوم و تحقیقات خوزستان، ۱۸۹ ص.
8. Breusers H. N. C., G. Nicollet H. W. Shen. 1977. Local scour around cylindrical piers. J. of Hydraulic Res., IAHR 15(3): 211-252.
9. Cardoso, A. H. and M. S. Cristina. 2009. Protecting vertical-wall abutment with riprap mattresses. J. of Hydraulic Eng. 135(6):457-465.
10. Chiew, Y. M. B. W. Melville. 1987. Local scour around bridge piers. J. of Hydraulic Res. 25(1):15-26.
11. Martin-Vide, J. P., M. Roca and C. A. Alvarado. 2010. Bend scour protection using riprap. Water Management 163(2):489-497.
12. Melville, B. W., S. Van Ballegooij, S. E. Coleman and B. Barkdoll. 2007. Riprap size selection at wing-wall abutment. ASCE. J. Hydraul. Eng. 133(11): 1265-1269.
13. Oliveto, G., W. H. Hager. 2002. Temporal evolution of clear-water pier and abutment scour. J. of Hydraulic Eng. ASCE 128(9): 811-820.
14. Parola, A. C. 1993. Stability of riprap at bridge piers. J. of Hydraulic Eng. ASCE, 119(10): 1080-1093.
15. Quazi, M. E., A. W. Peterson. 1973. A method for bridge pier riprap design. Proceedings First Canadian Hydraulics Conference, CSCE, Edmonton, AB, PP: 96-106.
16. Raudkivi, A. J., R. Ettema. 1983. Clear-water scour at cylindrical piers. J. of Hydraulic Eng. ASCE 109(3): 338-350.
17. Raudkivi, A. J. 1986. Functional trends of scour at bridge. J. of Hydraulic Eng. 112(1):1-13.
18. Simarro, G., Ch. Chreties and L. Teixeria. 2011. Riprap sizing for pile group. J. of Hydraulic Eng. doi:10.1061/(ASCE)HY.1943.1943-7900.0000458.
19. Yoon, T. H., S. B. Yoon, K. S. Yoon. 1995. Design of riprap for scour protection around bridge piers. 26th IAHR Congress, UK, 1: 105-110.